

# СТРУКТУРА ПОЛЯРИЗАЦИОННО-РАЗРЕШЕННЫХ КОНОСКОПИЧЕСКИХ КАРТИН ПЛАНАРНО ОРИЕНТИРОВАННЫХ ЖИДКОКРИСТАЛЛИЧЕСКИХ ЯЧЕЕК

*A. Д. Киселев<sup>\*</sup>, Р. Г. Вовк<sup>\*\*</sup>*

*Інститут фізики Національної академії наук України  
03028, Київ, Україна*

Поступила в редакцию 21 ноября 2009 г.

Геометрия распределений поляризации света в коноскопических картинах планарно ориентированных нематической и холестерической жидкокристаллических ячейках описана с помощью поляризационных сингулярностей:  $C$ -точек (точки циркулярной поляризации) и  $L$ -линий (линии линейной поляризации). Изучены условия формирования поляризационных сингулярностей ( $C$ -точек) в ансамбле коноскопических картин, параметризованном азимутом поляризации и эллиптичностью падающей световой волны. Показано, что характерной особенностью этих условий является селективность по поляризационным параметрам. При этом определяющими параметрами для ячеек нематика и холестерила являются соответственно азимут поляризации и эллиптичность.

## 1. ВВЕДЕНИЕ

Жидкие кристаллы (ЖК) представляют собой анизотропные среды, анизотропия которых определяется их ориентационной структурой, чувствительной к внешним полям и граничным условиям [1]. Оптические свойства ЖК не только лежат в основе их многочисленных применений как материалов с относительно легко контролируемой анизотропией [2, 3], но и играют важную роль при решении таких задач, как определение параметров (характеризация) ориентационной структуры ЖК.

Одним из оптических методов, который давно и успешно используется для исследования ориентационных ЖК-структур, является коноскопия [4–6]. Традиционный вариант коноскопического метода предполагает, что сходящийся световой пучок проходит через ЖК-образец, помещенный между скрещенными поляризаторами, и после коноскопа наблюдается коноскопическая картина. Распределение интенсивности света на этой картине показывает зависящее от направления распространения изменение состояния поляризации падающей волны, которое возникает как результат интерференции собственных мод ЖК-ячейки.

Следует отметить, что при использовании скрещенных поляризаторов значительная часть информации о состоянии поляризации света, прошедшего через ЖК-ячейку, оказывается потерянной. В принципе, эта информация может содержать дополнительные сведения об ориентационной структуре ЖК и оказаться полезной для разработки новых устройств [7, 8], а также улучшения существующих методик идентификации ориентационных структур анизотропных сред [9, 10].

В настоящей работе будем изучать поляризационные распределения света, которые лежат в основе коноскопических картин. Геометрическим образом таких поляризационных распределений, которые можно назвать поляризационно-разрешенными коноскопическими (угловыми) картинами, является поле поляризационных эллипсов на плоскости наблюдения [11].

Ранее мы показали [11, 12], что геометрия таких поляризационных структур характеризуется наличием поляризационных сингулярностей:  $C$ -точек (точки круговой поляризации) и  $L$ -линий (линии линейной поляризации). Известно, что в поляризационных распределениях неоднородных случайных световых полей [13–15] сингулярности такого sorta исключительно важны как устойчивые топологические дефекты [16].

<sup>\*</sup>E-mail: kiselev@iop.kiev.ua

<sup>\*\*</sup>E-mail: roman.vovk@gmail.com

Экспериментальные и теоретические результаты работы [12] исчерпывающим образом описывают случай гомеотропно ориентированного нематического ЖК (НЖК), когда ориентационная структура (НЖК-директор перпендикулярен плоскости подложки) характеризуется цилиндрической симметрией с осью вращения вдоль нормали к ячейке (ось  $z$ ). В частности, детально исследовано бифуркационное поведение  $C$ -точек при перестройках поляризационно-разрешенных коноскопических картин, индуцированных изменением поляризационных параметров (азимут поляризации и эллиптичность) падающей волны.

Естественно, что при исследовании поляризационных распределений для других ориентационных структур следует ожидать эффекты, непосредственно связанные с нарушением цилиндрической симметрии гомеотропной конфигурации. С целью изучения таких эффектов рассмотрим планарно ориентированный ЖК-слой как важный предельный случай, где ЖК-директор  $\mathbf{d}$ , который определяет ориентацию оптической оси, лежит в плоскости ЖК-ячейки (плоскость  $xy$ ):

$$\mathbf{d} = d_x \mathbf{x} + d_y \mathbf{y} = \cos \phi_{\mathbf{d}} \mathbf{x} + \sin \phi_{\mathbf{d}} \mathbf{y}, \quad (1)$$

и характеризуется азимутальным углом директора  $\phi_{\mathbf{d}}$ . В частности, наряду с поляризационными распределениями коноскопической однородной НЖК-структуры с  $\phi_{\mathbf{d}} = \phi_0$ , мы рассмотрим случай холестерила с геликоидальной ориентационной структурой, которая описывается уравнением (1) с азимутальным углом  $\phi_{\mathbf{d}} = qz + \phi_0$ , где  $q = 2\pi/P$  и  $P$  — соответственно волновое число и шаг холестерической спирали [1]. Нас будут интересовать условия возникновения  $C$ -точек в таких поляризационных распределениях.

## 2. ПОЛЯРИЗАЦИОННО-РАЗРЕШЕННЫЕ КОНОСКОПИЧЕСКИЕ КАРТИНЫ

### 2.1. Матрица пропускания

Рассмотрим задачу пропускания света одноосно анизотропным ЖК-слоем толщиной  $D$ , тензор диэлектрической проницаемости которого имеет общий вид [1]:

$$\varepsilon_{ij} = \varepsilon_{\perp} \delta_{ij} + \Delta\varepsilon d_i d_j, \quad (2)$$

где  $\Delta\varepsilon = \varepsilon_{\parallel} - \varepsilon_{\perp}$  и  $\delta_{ij}$  — символ Кронекера. Собственные значения тензора (2) дают обычновенный и необыкновенный показатели преломления:  $n_o = \sqrt{\mu\varepsilon_{\perp}}$  и  $n_e = \sqrt{\mu\varepsilon_{\parallel}}$ , где  $\mu$  — магнитная проницаемость ЖК.

Будем полагать, что падающая и прошедшая волны — плоские и распространяются во внешней изотропной среде с показателем преломления  $n_m = \sqrt{\mu_m \varepsilon_m}$ . Для плоскости  $xz$ , совмещенной с плоскостью падения, векторные амплитуды электрического поля падающей и прошедшей волн

$$\mathbf{E}_{inc, tr} = E_{\parallel}^{(inc, tr)} (q_m \hat{\mathbf{x}} - q_x \hat{\mathbf{z}}) n_m^{-1} + E_{\perp}^{(inc, tr)} \hat{\mathbf{y}}, \quad (3)$$

где  $q_m = \sqrt{n_m^2 - q_x^2}$ ,  $q_x = n_m \sin \theta_{inc}$  и  $\theta_{inc}$  — угол падения связаны соотношением

$$\begin{pmatrix} E_{\parallel}^{(tr)} \\ E_{\perp}^{(tr)} \end{pmatrix} = \mathcal{T} \begin{pmatrix} E_{\parallel}^{(inc)} \\ E_{\perp}^{(inc)} \end{pmatrix}, \quad (4)$$

определенным матрицей пропускания  $\mathcal{T}$ .

Для вычисления матрицы пропускания воспользуемся аналитическими результатами работ [11, 12], где решение граничной задачи выражено через оператор эволюции матричных уравнений Максвелла [17] для тангенциальных компонент электрического и магнитного полей:

$$\mathbf{E}_P = (E_x, E_y)^T \quad \text{и} \quad \mathbf{H}_P = (H_y, -H_x)^T.$$

Опуская математические подробности, касающиеся точного решения задачи пропускания света НЖК-ячейкой (их можно найти в работах [11, 12]), ниже приведем аналитическое выражение для матрицы пропускания планарной НЖК-ячейки. При этом следует отметить, что получить аналогичные выражения для матрицы пропускания холестерила можно лишь в случае нормального падения света при  $\theta_{inc} = 0$ . В случае же наклонного падения, когда  $\theta_{inc} \neq 0$ , аналитическое решение отсутствует и оператор эволюции следует находить с помощью численных методов. Отметим, что аналитические результаты можно также получить в приближении, описывающем предельный случай большого шага спирали [18].

Для собственных мод электромагнитного поля в планарной НЖК-ячейке определим матрицу собственных значений:

$$\mathcal{Q} = \text{diag}(q_e, q_o), \quad (5)$$

$$q_e = \sqrt{n_e^2 - q_x^2(1 + u_a d_x^2)}, \quad q_o = \sqrt{n_o^2 - q_x^2}, \quad (6)$$

где  $u_a = \Delta\varepsilon/\varepsilon_{\perp}$  — параметр анизотропии НЖК, а

$$\mathcal{E} = \mu \begin{pmatrix} d_x [1 - q_x^2/n_o^2] & d_y q_o \\ d_y & -d_x q_o \end{pmatrix}, \quad (7)$$

$$\mathcal{H} = \begin{pmatrix} d_x q_e & d_y n_o^2 \\ d_y q_e & -d_x [n_o^2 - q_x^2] \end{pmatrix} \quad (8)$$

— две блок-матрицы собственных векторов. Аналогичные матрицы собственных векторов для внешней среды имеют вид

$$\boldsymbol{\varepsilon}_m = \text{diag} \left( \frac{q_m}{n_m}, 1 \right), \quad \mu_m \boldsymbol{\mathcal{H}}_m = \text{diag}(n_m, q_m),$$

где  $\mu_m$  — магнитная проницаемость среды.

Следуя вычислительной процедуре работ [11, 12], получаем матрицу пропускания планарно ориентированного нематика в виде

$$\boldsymbol{\mathcal{T}} = N_m [\boldsymbol{\mathcal{A}}_+ \cdot \boldsymbol{\mathcal{W}}_- \cdot \boldsymbol{\mathcal{A}}_+^T - \boldsymbol{\mathcal{A}}_- \cdot \boldsymbol{\mathcal{W}}_+ \cdot \boldsymbol{\mathcal{A}}_-^T]^{-1}, \quad (9)$$

$$\boldsymbol{\mathcal{W}}_{\pm} = \exp[\pm i \boldsymbol{\mathcal{Q}} h] \cdot \boldsymbol{\mathcal{N}}^{-1}, \quad \boldsymbol{\mathcal{N}} = \text{diag}(N_e, N_o), \quad (10)$$

$$N_e = \frac{2q_e\mu}{n_o^2}(n_o^2 - q_x^2 d_x^2), \quad N_o = 2q_o\mu(n_o^2 - q_x^2 d_x^2), \quad (11)$$

$$\boldsymbol{\mathcal{A}}_{\pm} = \boldsymbol{\varepsilon}_m \cdot \boldsymbol{\mathcal{H}} \pm \boldsymbol{\mathcal{H}}_m \cdot \boldsymbol{\varepsilon}, \quad (12)$$

где  $N_m = 2q_m/\mu_m$ ,  $h = k_{vac}D$  и  $k_{vac} = \omega/c$  — волновое число в вакууме.

Рассчитанная в плоскости падения с нулевым азимутальным углом падения,  $\phi_{inc} = 0$ , матрица  $\boldsymbol{\mathcal{T}}$  определяет матрицу пропускания коноскопических картин  $\tilde{\boldsymbol{\mathcal{T}}}$  в циркулярном базисе следующим образом [11, 12]:

$$\begin{aligned} \tilde{\boldsymbol{\mathcal{T}}}(\rho, \phi) &= \begin{pmatrix} t_{++} & t_{+-} \\ t_{-+} & t_{--} \end{pmatrix} = \\ &= \exp(-i\phi \boldsymbol{\sigma}_3) \boldsymbol{\mathcal{T}}_c(\rho, \phi_d - \phi) \exp(i\phi \boldsymbol{\sigma}_3), \quad (13) \end{aligned}$$

$$\rho = r \operatorname{tg} \theta_{inc}, \quad \phi = \phi_{inc}, \quad (14)$$

где

$$\boldsymbol{\sigma}_3 = \text{diag}(1, -1), \quad \boldsymbol{\mathcal{T}}_c = \boldsymbol{\mathcal{C}} \boldsymbol{\mathcal{T}} \boldsymbol{\mathcal{C}}^\dagger,$$

$$\boldsymbol{\mathcal{C}} = 2^{-1/2} \begin{pmatrix} 1 & -i \\ 1 & i \end{pmatrix},$$

$r$  — масштабный коэффициент. При этом на плоскости наблюдения коноскопической картины  $\rho$  и  $\phi$  представляют собой полярные координаты (декартовы координаты:  $x = \rho \cos \phi$  и  $y = \rho \sin \phi$ ), которые определяются углом падения  $\theta_{inc}$  и азимутальным углом плоскости падения  $\phi_{inc}$ .

Необходимо также отметить, что в центре коноскопической картины ( $\rho = 0$ ), которому соответствует случай нормального падения ( $\theta_{inc} = 0$ ), матрица пропускания (13) не зависит от азимутального угла плоскости падения  $\phi$ . Используя аналитические результаты для матриц пропускания нематических и холестерических ЖК-ячеек, можно показать, что при  $q_x = 0$

$$\tilde{\boldsymbol{\mathcal{T}}} \Big|_{\rho=0} = \boldsymbol{\mathcal{T}}_c(0, \phi_d). \quad (15)$$

Матрица пропускания (13) и соотношение

$$\begin{pmatrix} E_+^{(tr)}(\rho, \phi) \\ E_-^{(tr)}(\rho, \phi) \end{pmatrix} = \tilde{\boldsymbol{\mathcal{T}}}(\rho, \phi) \begin{pmatrix} E_+^{(inc)} \\ E_-^{(inc)} \end{pmatrix}, \quad (16)$$

где  $E_{\pm}^{(inc, tr)} = 2^{-1/2}(E_{\parallel}^{(inc, tr)} \mp iE_{\perp}^{(inc, tr)})$ , определяют распределение циркулярных компонент прошедшей волны на плоскости наблюдения. Теперь поляризационно-разрешенную коноскопическую картину можно рассчитать как поле поляризационных эллипсов, которые определяются распределением поляризационных параметров (азимута поляризации  $\phi_p^{(tr)}$  и эллиптичности  $\varepsilon_{ell}^{(tr)}$ ) пропущенной волны в плоскости наблюдения. Эти параметры нетрудно получить из уравнений

$$2\phi_p = \arg(E_+^* E_-) = \arctg \left[ \frac{S_2}{S_1} \right], \quad (17)$$

$$\varepsilon_{ell} = \frac{|E_+| - |E_-|}{|E_+| + |E_-|} = \operatorname{tg} \left[ \frac{1}{2} \arcsin \left( \frac{S_3}{S_0} \right) \right], \quad (18)$$

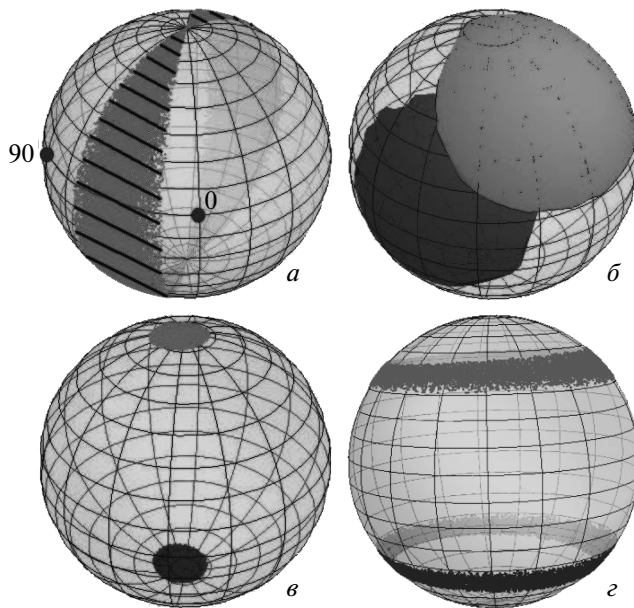
где  $E_{\pm} = |E_{\pm}| \exp(i\phi_{\pm})$ , а  $E_{\pm}^{(inc, tr)} = 2^{-1/2}(E_{\parallel}^{(inc, tr)} \mp iE_{\perp}^{(inc, tr)})$ ;  $\{S_0, S_1, S_2, S_3\}$  — параметры Стокса [19], которые определяют сферу Пуанкаре, параметризованную азимутом поляризации  $0 < \phi_p \leq \pi$  и углом эллиптичности  $-1 \leq \operatorname{tg} \chi_p = \varepsilon_{ell} \leq 1$ . При  $E_{\pm} = E_{\pm}^{(inc)}$  ( $E_{\pm} = E_{\pm}^{(tr)}$ ) уравнения (17) и (18) определяют азимут поляризации  $\phi_p^{(inc)}$  ( $\phi_p^{(tr)}$ ) и эллиптичность ( $\varepsilon_{ell}^{(tr)}$ ) падающей (прошедшей) волны.

Если  $|E_{\nu}| = 0$ , то волна имеет круговую поляризацию и ее фаза  $\phi_{\nu}$  вместе с азимутом поляризации  $\phi_p$  не определены. Поэтому такая поляризационная сингулярность может рассматриваться как фазовая сингулярность комплекснозначного поля Стокса,  $S = S_1 + iS_2 = E_+^* E_-$ . Точки с  $|E_{\nu}| = 0$ , где  $\varepsilon_{ell} = -\nu$ , будем называть  $C_{\nu}$ -точками.

В случае линейной поляризации  $|E_+| = |E_-|$  и знак поляризации неопределен. Кривые линейной поляризации —  $L$ -линии. В случайных неоднородно-поляризованных световых полях  $L$ -линии разделяют области с правой и левой поляризациями [13].

Рассмотрим условия формирования  $C_{\nu}$ -точек в поляризационно-разделенных коноскопических картинах.

Так как матрица пропускания  $\tilde{\boldsymbol{\mathcal{T}}}(\rho, \phi)$  зависит от двух углов падения,  $\theta_{inc}$  и  $\phi_{inc}$ , то для данных значений этих углов  $C_{\nu}$ -точка индуцируется при определенных параметрах поляризации падающей волны. Чтобы определить такие индуцирующие  $C$ -точки состояния поляризации, решим обратную задачу пропускания света.

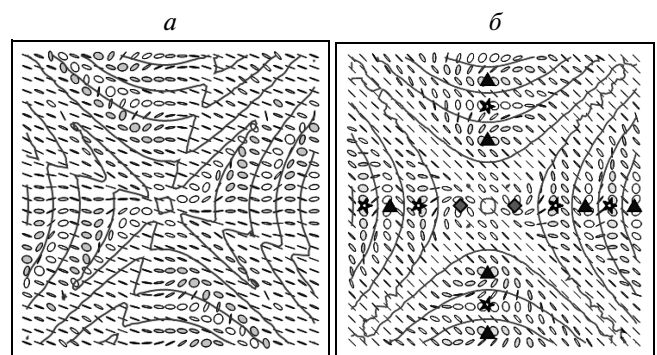


**Рис. 1.** Состояния поляризации падающей световой волны, индуцирующие  $C$ -точки в поляризационно-разрешенных коноскопических картинах: *а* — планарный нематик, *б* — холестерик  $P = 250$  мкм, *в* — холестерик  $P = 200$  мкм, *г* — холестерик  $P = 100$  мкм. Светлым цветом отмечены области, индуцирующие правые  $C$ -точки, темным цветом — левые  $C$ -точки. Для планарного НЖК эти области совпадают. Параметры расчета: нематический ЖК Е7 ( $n_o = 1.54$ ,  $n_e = 1.72$ ),  $n_m = 1.5$ , толщина ячейки  $D = 100$  мкм, апертура светового пучка  $30^\circ$ ,  $\phi_d = 0$ . Направление изменения азимута поляризации показано на рис. *а*

Очевидно, состояния поляризации прошедшей волны в  $C_\nu$ -точке известны. Для правой ( $\nu = -1$ ) и левой ( $\nu = +1$ )  $C$ -точек имеем соответственно  $\mathbf{E}_{inc} \propto (1, 0)^T$  и  $\mathbf{E}_{inc} \propto (0, 1)^T$ . Нетрудно показать, что соотношение

$$\begin{pmatrix} E_+^{(inc)} \\ E_-^{(inc)} \end{pmatrix} \propto \nu \begin{pmatrix} -t_\nu - \\ t_\nu + \end{pmatrix} \quad (19)$$

определяет состояние поляризации падающей волны, индуцирующее  $C_\nu$ -точку при заданных углах падения,  $\theta_{inc}$  и  $\phi_{inc}$  (в данной точке коноскопической картины  $(\rho, \phi)$ ). Изменяя углы падения, получим множество состояний поляризации падающей волны, которые индуцируют хотя бы одну  $C$ -точку в соответствующей коноскопической картине. Геометрически на сфере Пуанкаре такие состояния удобно изображать точками, образующими область. Например, для простого случая гомеотроп-



**Рис. 2.** Поляризационно-разрешенные коноскопические картины планарного нематика. Параметры расчета те же, что и на рис. 1: *а* —  $\phi_p^{(inc)} = 20^\circ$ ,  $\varepsilon_{ell}^{(inc)} = 0$ ; *б* —  $\phi_p^{(inc)} = 45^\circ$ ,  $\varepsilon_{ell}^{(inc)} = 0$

ной НЖК-ячейки картин без  $C$ -точек нет [11, 12] и такая область покрывает всю сферу.

## 2.2. Однородная планарная структура

На рис. 1*a* представлены области индуцирующих  $C_\nu$ -точек состояний поляризации падающей волны на сфере Пуанкаре (азимут поляризации  $\phi_p^{(inc)}$  изменяется вдоль параллелей, а эллиптичность  $\varepsilon_{ell}^{(inc)}$  — вдоль меридианов). Параметры расчета, выполненного по формулам (9)–(13), даны в подписи к рис. 1.

На рис. 1*a* видно, что в отличие от гомеотропно ориентированного НЖК, для планарной ориентации существует выраженная зависимость условий формирования  $C_\nu$ -точек от азимутального угла поляризации падающей волны  $\phi_p^{(inc)}$ . При этом сфера Пуанкаре, представленная на рис. 1*a*, рассчитана для случая, когда  $\phi_d = 0$ . Изменение значения азимутального угла НЖК-директора  $\phi_d$  эквивалентно сдвигу азимута поляризации  $\phi_p^{(inc)}$  на  $\phi_d$ , что соответствует перемещению области вдоль параллелей (повороту вокруг оси  $S_3$ ).

Поляризационно-разрешенные коноскопические картины планарного НЖК, представленные на рис. 2, демонстрируют эффект селективности по азимуту поляризации падающей волны. Видно, что на теоретически рассчитанных поляризационно-разрешенных коноскопических картинах (рис. 2)  $C$ -точки образуют правильную геометрическую структуру, характеризующуюся чередованием знака топологического индекса  $C$ -точек.

Перестройка этой структуры при изменении азимута поляризации сопровождается бифуркациями рождения/аннигиляции  $C$ -точек и расталкиванием

структурно-неустойчивых пересечений  $L$ -линий. Интересно, что подобное поведение было обнаружено в картинах для гомеотропной НЖК-структуры при индуцированных изменениях эллиптичности перестройках [12].

### 2.3. Холестерическая спираль

Рассмотрим теперь, что происходит в случае холестерической ЖК (ХЖК)-ячейки, в которой за счет хиральности сформирована геликоидальная ориентационная структура с отличным от нуля волновым числом ХЖК-спирали,  $q \neq 0$ , и конечным шагом спирали,  $P = 2\pi/q$ . На рис. 1б, б, г представлены области на сфере Пуанкаре, которые индуцируют  $C$ -точки в поляризационно-разрешенных коноскопических картинах ХЖК.

В первом случае (рис. 1б), когда шаг спирали равен  $P = 250$  мкм и число полувитков  $2D/P = 0.4$  меньше единицы, уже возникает ситуация, когда определенные состояния поляризации индуцируют только правые или только левые  $C$ -точки. Как и для НЖК-ячейки, в этом случае цилиндрическая симметрия области нарушена и еще сохраняется зависимость от азимутального угла  $\phi_p^{(inc)}$ . Появляется возможность формирования  $C$ -точек за счет изменения эллиптичности  $\varepsilon_{ell}^{(inc)}$  падающего света.

Как показано на рис. 1б, дальнейшее уменьшение шага холестерической спирали до  $P = 200$  мкм с увеличением числа полувитка единицы приводит к локализации областей, которые индуцируют  $C$ -точки разного знака в окрестности соответствующих полюсов сферы Пуанкаре. Когда же в ХЖК-ячейке сформированы два полувитка спирали,  $P = 100$  мкм, то области трансформируются в две полосы, расположенные в верхней и нижней полусферах (см. рис. 1г).

Разделение областей по знаку циркулярной поляризации указывает на необязательность присутствия  $L$ -линий. Пример поляризационно-разрешенной коноскопической картины ХЖК без  $L$ -линий, содержащей поляризационные эллипсы лишь одного знака, представлен на рис. 3.

Интересно, что в рассмотренных выше случаях холестерической спирали с целым числом полувитков соответствующие области на сфере Пуанкаре становятся цилиндрически-симметричными, и, как следствие, зависимость условий появления  $C$ -точек от азимутального угла  $\phi_p^{(inc)}$  полностью исчезает. Для таких ХЖК-ячеек появление  $C$ -точек в поляризационно-разрешенной коноскопической картине

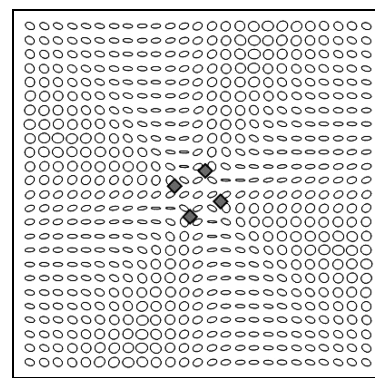


Рис. 3. Поляризационно-разрешенная коноскопическая картина холестерического ЖК,  $P = 100$  мкм,  $\varepsilon_{ell}^{(inc)} = 0.7$ ,  $\phi_p^{(inc)} = 0$

холестерического ЖК полностью определяется эллиптичностью  $\varepsilon_{ell}^{(inc)}$  падающего света.

## 3. ЗАКЛЮЧЕНИЕ

Характерной особенностью поляризационно-разрешенных коноскопических картин планарных НЖК- и ХЖК-ячеек является селективность условий формирования  $C$ -точек по поляризационным параметрам падающей световой волны.

Для планарного НЖК показано, что появление  $C$ -точек зависит только лишь от азимутального угла поляризации  $\phi_p^{(inc)}$ , в то время как эллиптичность фактически не влияет на их формирование. Причем на сфере Пуанкаре области, которые индуцируют  $C$ -точки, врачаются вокруг оси  $S_3$  при изменении азимутального угла директора. Такое поведение указывает на то, что селективность по азимутальному углу связана с нарушением цилиндрической симметрии гомеотропной конфигурации НЖК.

В ХЖК-ячейках равновесной является неоднородная геликоидальная конфигурация, в которой директор вращается вокруг нормали к ячейке. Когда число полувитков в ХЖК-ячейке становится больше единицы, тогда «восстанавливается» цилиндрическая симметрия и соответствующие области на сфере Пуанкаре становятся цилиндрически-симметричными. В этом случае решающим фактором при формировании  $C$ -точек становится эллиптичность  $\varepsilon_{ell}^{(inc)}$  падающей волны. Причем области состояний поляризации падающей волны, которые индуцируют  $C$ -точки противоположных знаков, не пересекаются. Очевидно, что указанные особенности можно рассматривать как эффекты хиральности ХЖК.

Работа выполнена при частичной финансовой поддержке гранта УНТИЦ № 4687.

## ЛИТЕРАТУРА

1. P. G. de Gennes and J. Prost, *The Physics of Liquid Crystals*, Clarendon Press, Oxford (1993).
2. P. Yeh and C. Gu, *Optics of Liquid Crystal Displays*, Wiley, Singapore (1999).
3. V. G. Chigrinov, *Liquid Crystal Devices: Physics and Applications*, Artech House, Boston (1999).
4. G. Baur, V. Wittwer, and D. W. Berreman, Phys. Lett. A **56**, 142 (1976).
5. L. H. Brett and H. H. Winter, Appl. Opt. **40**, 2089 (2001).
6. Yu. A. Nastishin, O. B. Dovgyi, and O. G. Vlokh, Ukr. J. Phys. Opt. **2**, 98 (2001).
7. L. Lucchetta, R. Karopiran, A. Mann, and F. Simoni, J. Appl. Phys. **91**, 6060 (2002).
8. B. A. Лойко, А. В. Конкович, ЖЭТФ **130**, 1082 (2006).
9. С. В. Яблонский, А. С. Михайлов, С. П. Палто, С. Г. Юдин, С. И. Яковлев, Г. Дюран, Письма в ЖЭТФ **67**, 387 (1998).
10. В. А. Лойко, А. В. Конкович, ЖЭТФ **126**, 385 (2004).
11. A. D. Kiselev, J. Phys.: Condens. Matter **19**, 246102 (2007).
12. A. D. Kiselev, R. G. Vovk, R. I. Egorov, and V. G. Chigrinov, Phys. Rev. A **78**, 033815 (2008).
13. J. F. Nye, *Natural Focusing and Fine Structure of Light: Caustics and Wave Dislocations*, Institute of Physics Publishing, Bristol (1999).
14. В. Г. Денисенко, Р. И. Егоров, М. С. Соскин, Письма в ЖЭТФ **80**, 21 (2004).
15. Р. И. Егоров, В. Г. Денисенко, М. С. Соскин, Письма в ЖЭТФ **81**, 454 (2005).
16. N. D. Mermin, Rev. Mod. Phys. **51**, 591 (1979).
17. D. W. Berreman, J. Opt. Soc. Amer. **62**, 502 (1972).
18. Е. В. Аксенова, Е. В. Крюков, В. П. Романов, ЖЭТФ **132**, 1435 (2007).
19. M. Born and E. Wolf, *Principles of Optics*, Pergamon Press, Oxford (1980).